

## فرآیندهای نوین در مهندسی مواد

ma.iaumajlesi.ac.ir

سنتر و مشخصه یابی نانو ذرات  $ZrB_2$  با استفاده از روش سل-ژل

ابوالحسن نجفی<sup>\*</sup>، غلامرضا خلچ<sup>۱</sup>، میلاد رحمانی آزاد<sup>۲</sup>

۱- دانشیار، گروه مهندسی مواد، دانشگاه آزاد اسلامی، واحد ساوه، ساوه، ایران.  
۲- کارشناس ارشد مهندسی مواد، دانشگاه آزاد اسلامی، واحد ساوه، ساوه، ایران.

ab\_najafi@iust.ac.ir\*

### چکیده

در تحقیق حاضر، نانو ذرات  $ZrB_2$  با استفاده از روش سل-ژل سنتر شدند. از آلكوکسیدزیرکونیوم به عنوان منبع  $Zr$  و از اسید بوریک به عنوان منبع بور استفاده گردید. اندازه ذرات پیش سازنده در ابعاد نانومتری با استفاده از پارامتر pH در داخل سل کنترل شدند و تشکیل جوانه‌های اولیه فاز  $ZrB_2$  و میزان بلوری شده آن‌ها با استفاده از پارامتر دما بررسی گردید. به منظور ارزیابی مکانیزم تشکیل محصول در طی فرآیند سل-ژل، از روش‌های TEM، SEM، DTA / TG، XRD، RAMAN، FTIR و DLS استفاده شده است. تجزیه و تحلیل DLS نشان داد که اندازه ذرات پیش سازنده در داخل سل در عدد pH کمتر از ۵، زیر  $10\text{ nm}$  بودند. اندازه گیری ویسکوزیته و پتانسیل زتا در داخل سل نشان داد که در منطقه اسیدی با افزایش pH پایداری ذرات کاهش می‌یابد. مخلوط کردن ذرات پیش سازنده در ابعاد مولکولی در داخل سل یکی از دلایل مهم در کاهش دمای سنتر ذرات  $ZrB_2$  بود. تجزیه و تحلیل FTIR روی پوندهای شیمیابی نشان داد که پوند Zr-B در داخل پودر ژل تشکیل شده است. تجزیه و تحلیل DTA نشان داد که جوانه‌های اولیه فاز  $ZrB_2$  در دمای حدود  $1500\text{ }^{\circ}\text{C}$  کریستالیزه شده حدود  $1320\text{ }^{\circ}\text{C}$  تشکیل شده است. مشاهدات XRD نشان داد که سطح ویژه ذرات سنتر شده  $ZrB_2$  معادل  $115\text{ }\mu\text{m}$  مترمربع در گرم است و همچنین سطوح این ذرات متخلخل بوده و اندازه این متخلخل‌ها در محدوده مزو است. تجزیه و تحلیل SEM نشان داد که اندازه ذرات  $ZrB_2$  با مورفلوژی همگن در محدوده  $50\text{ nm}$  است. در نهایت، تجزیه و تحلیل ریزاساختاری TEM نشان داد که ذرات  $ZrB_2$  به طور یکنواخت و منظم در بعد بسیار ریز تشکیل شده است.

### اطلاعات مقاله

دریافت: ۱۴۰۰/۱۰/۸

پذیرش: ۱۴۰۱/۱۰/۲۳

### کلید واژگان:

نانو مواد

مزوپور

فرآیند سل-ژل

دی بوراید زیرکونیوم

## Synthesis and Characterization of $ZrB_2$ Nano Powder by Sol-Gel Method

Abolhassan Najafi<sup>\*</sup>, Gholamreza Khalaj<sup>1</sup>, Milad Rahmani-Azad<sup>2</sup>

1- Associate professor, Department of Materials Engineering, Saveh Branch, Islamic Azad University, Saveh, Iran.

2- M.Sc., Department of Materials Engineering, Saveh Branch, Islamic Azad University, Saveh, Iran.

\* ab\_najafi@iust.ac.ir

### Article Information

Original Research Paper

Dor:

20.1001.1.24233226.1401.16.4.4.7

### Keywords:

Nano Materials

Mesoporous

Sol-Gel Process

$Zrb_2$

### Abstract

In the present study,  $ZrB_2$  nano powders were synthesized using sol-gel method. Zirconium alkoxide was used as the source of zirconium and boric acid as the source of boron. The size of precursor nanoparticle was controlled using the pH parameter inside the sol, and the formation of primary nuclei of  $ZrB_2$  phase and their crystallized amount were investigated using the temperature parameter. To evaluate the mechanism of product formation during the sol-gel process, TEM, SEM, DTA / TG, RAMAN, XRD, FTIR, and DLS methods were used. DLS analysis showed that the size of precursor particle inside the sol at pH less than 5 was below 10 nm. Measurements of viscosity and zeta potential inside the sol showed that in the acidic range, the particle stability decreases with increasing pH. Mixing of precursor particles at molecular level inside the sol was one of the important reasons in reducing the synthesis temperature of  $ZrB_2$  particles. FTIR analysis on chemical bonds showed that Zr-O-B bond was formed inside the gel powder. DTA analysis showed that the primary nuclei of  $ZrB_2$  particles were formed at a temperature of about  $1400\text{ }^{\circ}\text{C}$ . XRD observations proved that the primary nuclei of the  $ZrB_2$  phase crystallized and grew at a temperature of about  $1500\text{ }^{\circ}\text{C}$ . Surface research revealed that the specific surface area of the synthesized  $ZrB_2$  particles is equivalent to  $115\text{ m}^2/\text{g}$ , and also the surfaces of these particles are porous, and the size of these porosities is in meso range. SEM analysis showed that the particle size of  $ZrB_2$  having homogeneous morphology is about 50 nm. TEM microstructural analysis revealed that  $ZrB_2$  particles were formed uniformly and orderly in very fine dimensions

برای ارجاع به این مقاله از عبارت ذیل استفاده نمایید :

Please cite this article using:

Abolhassan Najafi, Gholamreza Khalaj, Milad Rahmani-Azad, Synthesis and Characterization of  $ZrB_2$  Nano Powder by Sol-Gel Method, New Process in Material Engineering, 2023, 16(4), 41-52.

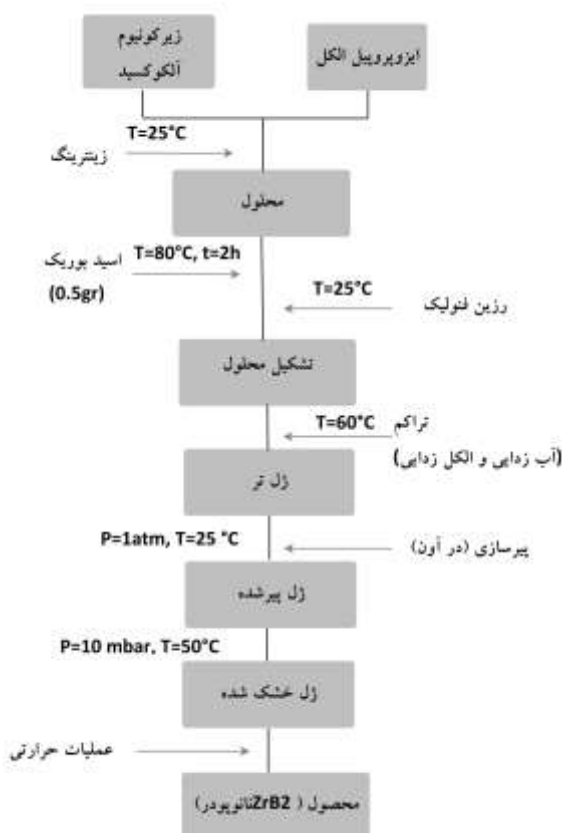
مخلفی برای ستنت بوریدها استفاده شده است. با این حال، تمایل به استفاده از روش های شیمیایی جهت دستیابی به ساختار همگن در ستنت مواد سرامیکی پیشرفته لازم و ضروری است [۱۲-۱۴]. روش های شیمیایی نوین را می توان به عنوان یک رویکرد دقیق جهت ستنت پودرهای سرامیکی با ابعاد بسیار ریز (در ابعاد نانو) با کمترین خطر آگلومریزاسیون در نظر گرفت. مسئله بسیار قابل توجه این است که اجزای پیش سازنده را می توان در داخل یک سوسپانسیون در ابعاد مولکولی اختلاط کرد که این موضوع، منجر به کاهش دمای واکنش تشکیل فازهای سرامیکی می گردد [۱۵-۱۷]. در این میان، روش سل- ژل به عنوان یکی از روش های معمول شیمیایی مطرح می باشد. در این روش می توان پودرهای سرامیکی را در ابعاد ۱ تا ۱۰۰ nm تولید کرد. در این روش، مواد پودری بسیار خالص با استفاده از مواد پیش سازنده غیرآلی یا آلی فلزی (آلکوکسیدها) تولید می شوند [۱۸-۱۹]. سل- ژل یک فرآیند شیمیایی است و شدیداً وابسته به عوامل کنترل ستنت می باشد که اگر این عوامل در حین فرآیند به خوبی قابل کنترل نباشند بر خواص محصول بسیار مؤثر خواهند بود. آلکوکسیدها مهم ترین پیش سازنده ها در روش سل ژل برای ستنت پودرهای بسیار خالص با ترکیب شیمیایی هموژن هستند [۲۰-۲۱]؛ بنابراین، در این مطالعه از آلکوکسید مناسب برای ستنت محصول نهایی با ترکیب شیمیایی همگن و خواص مطلوب استفاده شده است. تا به امروز، تعداد محدودی مطالعه در مورد انتخاب آلکوکسیدها به عنوان پیش سازنده ها ستنت پودر ZrB<sub>2</sub> با استفاده از فرآیند سل ژل منتشر شده است. بر این اساس، به چند نمونه از تحقیقات گذشته اشاره می شود. چن و همکاران<sup>۳</sup> با استفاده از تکنیک احیای بروکربوترمال کریستال های ZrB<sub>2</sub> با مورفولوژی شبیه میله ستنت کردند [۲۲]. شین و همکارانش<sup>۴</sup> ذرات ZrB<sub>2</sub> را با استفاده از افزودنی های متنوع از طریق روش هم زمان سل- ژل و احیای کربوترمال ستنت کردند [۲۳]. یانگ و همکارانش<sup>۴</sup> ذرات شش گوشه ZrB<sub>2</sub> را با استفاده از عامل احیا کننده فروکتوز به روش سل- ژل ستنت کردند. در این

## ۱- مقدمه

اخیراً، سرامیک های غیر اکسیدی به دلیل خواص منحصر به فرد و استراتژیک مخصوصاً در دمای بالا (بالای ۱۵۰۰ °C)، کاربردهای فراوان در صنایع مختلف دارند؛ که در این بین بوریدها زیرمجموعه مهم و حائز اهمیتی از سرامیک های غیر اکسیدی را به عنوان سرامیک های دمای فوق بالا<sup>۱</sup> (UHTC) تشکیل داده اند [۱-۲].

در این بین ZrB<sub>2</sub> یکی از ترکیبات مهم این خانواده بشمار می رود. ZrB<sub>2</sub> از جمله سرامیک های مهندسی دیر گدازی است که طی سال های اخیر، پژوهش ها و فعالیت های زیادی در این خصوص انجام شده است [۳-۴]. دمای ذوب بسیار بالای آن (بالاتر از ۳۲۰۰ °C) نشان از خاصیت دیر گدازی آن دارد. در کنار آن این ماده دارای دانسیته بالایی در مقایل با اکثر سرامیک ها (به خصوص اکسیدی ها) است. سختی بالای آن در حدود ۳۳۱۳ گیگا پاسکال، هدایت حرارتی مناسب آن و مقاومت حرارتی فوق العاده آن که به دلیل پیوند کووالانت آن ممکن شده است. خواصی چون پایداری شیمیایی خوب در برابر اسیدها، هدایت حرارتی بالا، هدایت الکتریکی بالا و سختی بالا سبب شده اند که به عنوان یک کاندیدای بالقوه و بالفعل در صنایع هوافضا (اتاقک احتراق موشک، پیشرانه موسک یا پرتاپ و ...) و کاربردهای سایشی، ابزار برش و توربین ها، بوته های ذوب و نگهداری مذاب فلزات، نازل های اسپری های دما بالا و افزودنی در سیستم های کامپوزیتی جهت بهبود خواص مکانیکی و حرارتی مطرح شود [۵-۷].

ترکیب این خواص، منجر به کاربرد بسیار سرامیک های بر پایه ZrB<sub>2</sub> در صنایع مختلف شده است که از جمله می توان به پوشش های مقاوم در دمای های بالا و مقاوم در برابر اکسیداسیون و خوردگی، نازل های پاششی دما بالا، صنایع نظامی، پیشرانه موسک، قطعات الکترونیکی، ابزارهای برش، اجزای موتور برای پروازهای موفق صوت، محافظت حرارتی برای وسایل نقلیه هوایی، بوته های ذوب فلزات، الکترودهای دما بالا و پوشش های محافظت برای فولادها اشاره نمود [۸-۱۱]. تاکنون، روش های



شکل (۱): فلوچارت فعالیت‌های عملی.

بدین منظور ابتدا ۲ گرم الکوکسید زیرکونیوم در ۵۰ گرم حلal ایزوپروپیل الکل ریخته و توسط همزن مغناطیسی تا رسیدن به یک محلول یکنواخت هم زده شد. در مرحله بعد ۰/۵ گرم اسید بوریک به سیستم اضافه شد و سپس محلول به دست آمده در دمای ۲۵ °C به مدت ۲ ساعت هم زده شد. شایان ذکر است در این مرحله جهت جلوگیری از خروج حلال و مواد فرار از مبرد مارپیچ استفاده شد. در مرحله بعد ۲ گرم محلول ۲۰ درصد وزنی رزین فولیک در اتانول و به دنبال آن محلولی از آب دو بار تقطیر و ایزوپروپیل الکل به سیستم اضافه شد و در دمای ۲۵ °C به مدت ۲۴ ساعت هم زده شد. در ادامه جهت ژلاسیون دمای سیستم را به ۶۰ °C افزایش داده تا فرآیند ژلاسیون تکمیل گردد. ژل به دست آمده در دمای محیط به مدت ۲۴ ساعت جهت تکمیل مرحله پیرسازی نگهداری و سپس در دمای ۵۰ و در خلا ۱۰ میلی بار به مدت ۵ ساعت خشک شد. در نهایت ژل خشک شده با استفاده از هاون عقیق به خوبی خرد شده و در دماهای مختلف تحت اتمسفر خنثی آرگون عملیات

تحقیق فروکتوز به عنوان منع کربن نیز استفاده شده است. دمای سنتز ذرات ZrB<sub>2</sub> در حدود ۱۵۵۰ گرماش شده است و اندازه ذرات سنتز شده ۸/۰ میکرون می باشد [۲۴]. جی و همکارانش<sup>۵</sup> نانو پودرهای ZrB<sub>2</sub> را با استفاده از ماده مؤثر سوریل در ابعاد حدود ۱۰۰ nm سنتز کردند؛ که با اضافه کردن سوریل و تشکیل پیوند Zr-O-C-B باعث کاهش دمای واکنش احیای کربونیمیک می شوند [۲۵].

در این تحقیق، سنتز نانو پودر ZrB<sub>2</sub> با استفاده از آلکوکسید زیرکونیوم و رزین فولیک به ترتیب به عنوان پیش سازهای زیرکونیوم و کربن گرماش شده است. ابتدا بررسی های لازم در مورد سل صورت گرفت. برای رسیدن به یک سل بهینه احتیاج به کنترل پارامترهای اساسی مانند pH می باشد. مهم ترین هدف، رسیدن به هموژنیته بسیار بالا همراه با ترکیب شیمیایی مناسب محصول است. در صورت محقق شدن این هدف، می توان انتظار داشت محصول دارای خلوص شیمیایی بسیار بالا باشد. همین طور جهت رسیدن به محصول بهینه لازم است که پارامترهای دما و زمان نیز کنترل شود. در این تحقیق، اثر هم زمان پارامترهای مؤثر بر ریزساختار ذرات و اندازه آنها در مقایس نانو مورد مطالعه قرار گرفته است و یک روش جدید برای حفظ اندازه ذرات در سل در سطح نانومتری توسعه داده شد. از پارامترهای متغیر pH، دما و نسبت پیش سازنده ها به منظور جلوگیری از پدیده آگلومریزاسیون استفاده شد.

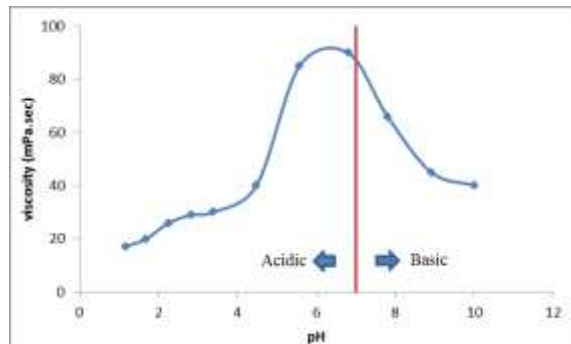
## ۲- مواد و روش های آزمایش

شکل (۱) فلوچارت فعالیت‌های عملی انجام گرفته جهت سنتز نانو ذرات ZrB<sub>2</sub> به روش سل-ژل مشاهده می شود.

طیف سنج رامان پراکنده (Almega Thermo Nicolet) اندازه گیری شد . لیزر ۵۳۲ نانومتری به عنوان منبع نور تحریک استفاده شد . میکروسکوپ الکترونی روشنی SEM، (JEOL JSM-7600F) و میکروسکوپ الکترونی عبوری (JEOL JSM-2100F, TEM) برای بررسی اندازه آگلومرها و همچنین تجزیه و تحلیل کمی و کیفی و برای تعیین اندازه، شکل و توزیع ذرات در پودر ستنتز شده استفاده شد.

### ۳- نتایج و بحث

پارامتر pH یکی از اصلی ترین پارامترها در فرآیند سل- ژل بشمار می رود. در واقع تنظیم pH به اتصال کنترل شده اجزای پیش سازنده و ستنتز شده نانو ذرات می انجامد و ازین رو بهینه سازی این پارامتر از اهمیت بسیار بالایی برخوردار است . در شکل (۲) تغییرات ویسکوزیته سل حاوی ذرات پیش سازنده بر حسب pH نشان داده شده است.



شکل (۲): تغییرات ویسکوزیته سل حاوی ذرات پیش سازنده بر حسب pH

همان طور که ملاحظه می گردد در pH های میانی و در محدوده pH: ۶-۷ سل حاوی ذرات پیش سازنده دارای بالاترین ویسکوزیته می باشد و به عبارت دیگر در این محدوده از pH جاذبه بین ذرات داخل سل افزایش می یابد که این امر به کاهش سیالیت سل در اثر اتصال ذرات، منجر می شود؛ بنابراین در این محدوده از pH توانایی نگهداری ذرات در ابعاد بسیار ریز وجود ندارد . در محدوده pH های

حرارتی شد. پس از عملیات حرارتی پودر به دست آمده در محلول ۱۰ مولار سود به مدت ۱ ساعت ریخته شد تا ناخالصی های اکسیدی باقیمانده در آن حل و از سیستم خارج شود. در نهایت با استفاده از مخلوط آب و اتانول پودر بدست آمده شستشو داده و در دمای اتاق به مدت ۲۴ ساعت نگهداری شد تا محصول نهایی به دست آید.

چندین تکنیک مشخصه یابی برای شناسایی خواص سل از جمله اندازه گیری پایداری ذرات با استفاده از دستگاه Malvern DTS Zeta sizer (Malvern DTS) در دمای آنالیز رئومتری انجام شده (Phisica) در دمای ۱۲۰ °C کنترل شده از دمای محیط تا ۲۵ °C ویسکوزیته با نرخ برش ثابت ۲۶۰۰ s<sup>-1</sup> در دمای ۲۵ °C اندازه گیری شد. رفتار رئولوژیکی سوپرانسیون های حاوی ذرات نانو با اندازه گیری ویسکوزیته و کشش برشی به عنوان تابعی از مقادیر برشی و pH مورد مطالعه قرار گرفت. اندازه گیری اندازه ذرات به روش پراکنده نور دینامیکی (Malver DTS, DLS) انجام شد . در این روش، میزان حلالیت بر اساس روشنایی پرتو لیزر با طول موج کمتر از ۱۰۰ nm در ذرات نانومتری حاوی سل اندازه گیری می شود. نانو پودر ZrB<sub>2</sub> ستنتز شده با استفاده از تکنیک های تحلیلی مختلف از جمله FTIR (SHIMADZU 8400S) به منظور تو صیف انواع باند موجود در نمونه پودر ستنتز شده تو سط فرآیند سل- ژل مورد استفاده قرار گرفت. اعداد موج برای آنالیز FTIR در محدوده ۴۰۰-۴۰۰ cm<sup>-1</sup> بودند . از آنالیز وزن سنجی گرمایی/حرارتی مقایسه ای (تفاضلی)<sup>۷</sup> هم زمان (DTA/TG, 404 PC) برای بررسی دگرگونی های فاز در دماهای متناظر تا ۱۵۰۰ °C با نرخ گرمایش ۱۰ °C در دقیقه در آرگون استفاده شد. تجزیه و تحلیل پراش اشعه ایکس (XRD, Philips xpert) نیز برای مطالعه فازها استفاده شد .

توزیع اندازه ذرات نیز از طریق ابزار HORIBA LB 550 بررسی شد که فرآیند آن بر اساس پراش دینامیکی ذرات پراکنده در یک محیط مایع است . از دستگاه Micromeretic Gemini 2375V4.02 برای تعیین سطح ویژه ذرات دریافتی استفاده شد . طیف رامان بر روی

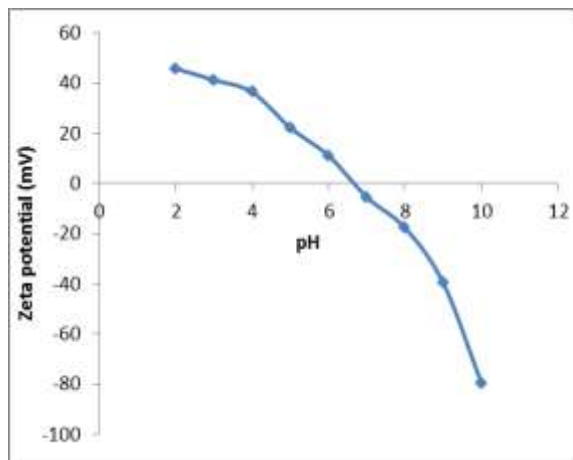
محدوده از pH به علت کاهش ضخامت لایه مضاعف، ذرات داخل سل در اثر نیروهای جاذبه به هم می‌چسبند و در نتیجه اندازه ذرات افزایش یافته و آگلومراسیون رخ می‌دهد؛ اما در pHهای اسیدی حدود (۲/۵-۳) پتانسیل زتا می‌دهد. مقدار را دارای می‌باشد و به علت افزایش ضخامت حداکثر مقدار را دارای دافعه الکترواستاتیکی لایه مضاعف، ذرات داخل سل دارای دافعه الکترواستاتیکی لازم جهت عدم آگلومره شدن می‌گردد. همین طور در شرایط بازی (pHهای حدود ۸-۱۰) پتانسیل زتا از نظر قدر مطلق مقدارش بالا بوده و یک سیستم کلوئیدی پایدار را تشکیل داده است. این موضوع را می‌توان این گونه تفسیر نمود که هر ذره کلوئیدی دارای بار الکتریکی می‌باشد و این بار الکتریکی موجب بروز نیروی دافعه میان ذرات در حالت تعادل می‌گردد. به عبارتی اگر این بار الکتریکی به حد کافی زیاد باشد، ذرات پیش سازنده می‌توانند کاملاً مجزا و پایدار بمانند. با کاهش بار الکتریکی میان ذرات و یا حذف شدن آن، ذرات درون یک سیستم در اثر نیروی جاذبه واندروالس به ۵ م می‌چسبند و توده بزرگی را تشکیل می‌دهند که این امر امکان رسوب این توده را فراهم می‌نماید. این تئوری تقابل بین نیروهای دافعه الکترواستاتیک و نیروهای جاذبه واندروالس ذرات داخل سل را بیان می‌کند. ذرات اولیه که در داخل سل جوانه می‌زنند می‌توانند توسط یک نیروی دافعه قوی پراکنده شوند و تا پایان فرآیند پایدار بمانند. رابطه (۱) ارتباط بین پتانسیل زتا و عدم آگلومره شدن ذرات را نشان می‌دهد.

$$V \quad (1)$$

در رابطه فوق  $VB$  سد انرژی جهت جلوگیری از آگلومره شدن بین دو ذره، ثابت  $A$ ،  $\kappa$  پارامتر Deby-Hamaker،  $a$  قطر ذره،  $\epsilon$  ثابت دیالکتریک محیط مایع و  $\psi$  پتانسیل سطحی می‌باشد. در بخش اول رابطه فوق که دارای علامت منفی است، سهمی است که به دلیل نیروهای جاذبه واندروالس ذرات داخل سل، ایجاد می‌شود و بخش دوم که دارای علامت مثبت است، سهمی است که به دلیل نیروهای دافعه الکترواستاتیک بین ذرات ایجاد می‌گردد. بر

خیلی پایین (۴/۵-۶) و خیلی بالا ( $>7$ ) ذرات پیش سازنده در داخل سل به خوبی پراکنده شده و سیالیت سل افزایش یافته است و در نتیجه تحرک پذیری ذرات افزایش می‌باید و پایداری سل نیز بیشتر خواهد شد. مکانیزم ناپایداری ذرات و افزایش سیالیت در pH های میانی به دلیل کاهش ضخامت لایه مضلع یا همان لایه محافظ ذرات است که این لایه از چسبیدن ذرات به هم دیگر جلوگیری می‌کند. حال هر چقدر از pH های میانی فاصله می‌گیریم دافعه بین ذرات به دلیل افزایش ضخامت لایه مضاعف بیشتر می‌شود و خطر آگلومراسیون کمتر می‌شود [۲۴]. نتایج به دست آمده نشان می‌دهد که امکان تهیه سل با کنترل مناسب اندازه ذرات در کمترین میزان ویسکوزیته (که معرف کمترین احتمال آگلومراسیون است) در محدودهای pH خیلی پایین محدود می‌باشد. جهت درک بهتر این موضوع در مرحله بعد، اثر pH بر پتانسیل زتا سل حاوی ترکیبات پیش سازنده Zr-B-C مورد بررسی قرار گرفت.

شکل (۳) تغییرات پتانسیل زتا را بر حسب pH نشان می‌دهد.



شکل (۳): تغییرات پتانسیل زتا را بر حسب pH.

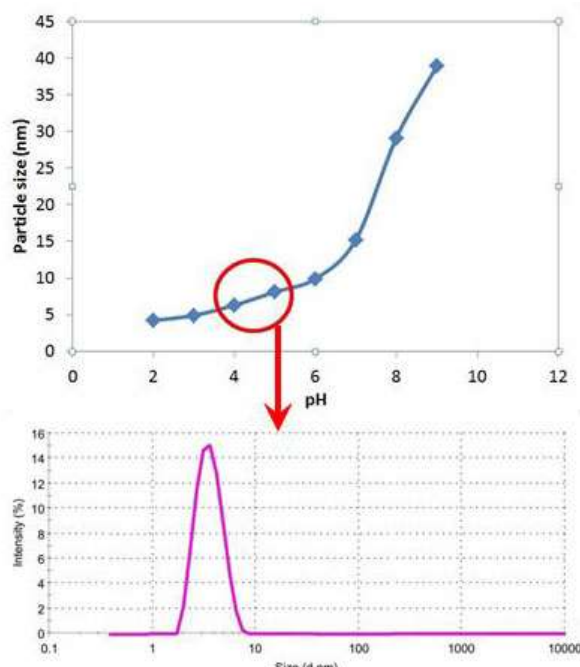
همان طور که ملاحظه می‌گردد ضخامت لایه مضاعف و پتانسیل زتا با تغییر میزان pH تغییر می‌باید و مشاهده می‌شود که در pH های میانی (۴-۷) اندازه پتانسیل زتا به حداقل خود رسیده است و کمترین پایداری ذرات در داخل سل (به دلیل کاهش ضخامت لایه مضاعف و عدم فعال سازی مکانیزم دفع الکترواستاتیکی) مشاهده می‌گردد. در این

همان طور که در شکل (۴) (الف) تصویر مشخص است در شرایط اسیدی و در مقادیر pH پایین، ذرات ریزتر هستند، زیرا در این محدوده از pH (کمتر از ۵) غلظت یون های OH بسیار کم است؛ بنابراین سرعت حلالیت پایین و واکنش هیدرولیز بسیار کند پیش می رود؛ اما برای مقادیر pH بالا غلظت یون های OH افزایش می یابد که عامل باعث تشکیل و رشد هم زمان ذرات در داخل سل می گردد؛ و در نهایت ذرات درشت تر می شوند. شکل (۴)(ب) نمودار توزیع ذرات پیش سازنده داخل سل را در محدوده pH ۴ تا ۵ نشان می دهد. همان طور که مشخص است، ذرات پیش سازنده زیرکونیوم و کربن در محدوده اندازه زیر ۱۰ nm و دارای توزیع همگن می باشند که این موضوع نشان دهنده کنترل مناسب شرایط ستنت جهت تولید مواد پیش سازنده است [۲۶]. همین طور توزیع باریک از این ذرات و پیوستگی در اندازه ذرات نشان از کنترل واکنش های هیدرولیز و چگالش مواد پیش سازنده در حین فرآیند ساخت سل می باشد؛ به عبارت دیگر کنترل عوامل هیدرولیز و پایدار کننده سل باعث جلوگیری از رشد ناهمگن ذرات و آگلومره شدن آنها در داخل سل گردید.

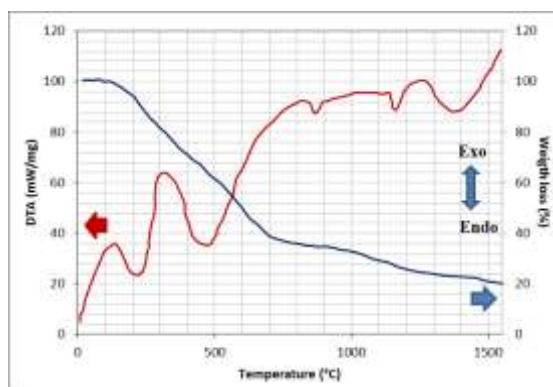
یکی از مواردی که جهت دستیابی به نانو ذرات ZrB<sub>2</sub> با خواص یکسان موردنیاز است وجود یکنواختی در ساختار ژل تهیه شده است. بمعبارت دیگر اگر اتم های زیرکونیوم، بور و کربن در ساختار ژل به طور هموژن در کنار یکدیگر قرار نگیرند نمی توان انتظار داشت که نانو ذرات منتج از ژل تهیه شده از نظر خواص از ویژگی های یکسانی برخوردار باشند. در این راستا از آنالیز طیف سنجی تبدیل فوریه مادون قرمز استفاده شد و طیف به دست آمده از ژل تهیه شده مورد ارزیابی قرار گرفت (شکل (۵)).

طبق رابطه (۱)، سد انرژی با کاهش پتانسیل زتا یا کاهش ضخامت لایه مرزی، کاهش می یابد و جاذبه بین ذرات بیشتر می شود بنابراین در pH های اسیدی خیلی پایین (۴-۲/۵) که ذرات پیش سازنده پتانسیل زتا بالای دارند، پارامتر دوم بر پارامتر اول غالب است و ذرات تمایل دارند همدیگر را دفع کنند این در حالی است که در pH های میانی (۴-۷) به دلیل کاهش چشمگیر پتانسیل زتا پارامتر جاذبه بر دافعه ذرات غلبه می کند و در نتیجه خطر آگلومره شدن افزایش می یابد و به عبارتی دیگر سل حالت ناپایدار پیدا می کند [۲۵].

بنابراین انتخاب pH های اسیدی خیلی پایین جهت تولید سل پایدار در این تحقیق به عنوان راهکاری جهت حفظ پایداری سل مورد نظر قرار گرفت. البته لازم به ذکر است که در pH های بازی (۸-۱۰) نیز با افزایش قدر مطلق پتانسیل زتا، VB افزایش یافته و در نتیجه پایداری سل افزایش می یابد. شکل (۴) اثر pH بر اندازه ذرات داخل سل حاوی پیش سازنده های حاوی عناصر زیرکونیوم، بور و کربن را نشان می دهد.

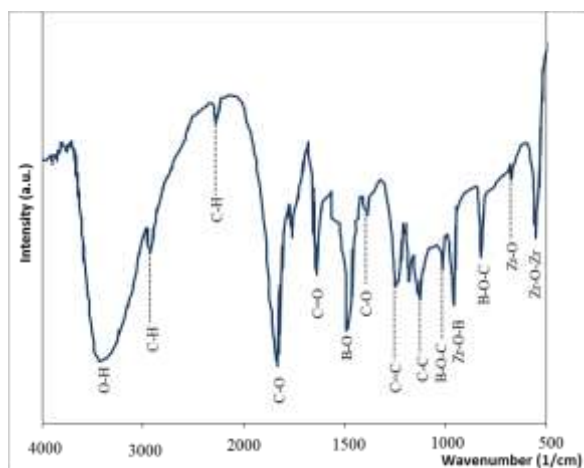


شکل (۴): اثر pH بر (الف) اندازه ذرات داخل سل و (ب) توزیع ذرات.



شکل (۶): آنالیز حرارتی DTA/TG ژل پودر سنتر شده.

همان طور که در شکل (۶) مشاهده می شود در منحنی DTA به دست آمده از ژل خشک دو پیک گرماگیر در محدوده دمایی ۱۵۰-۶۰۰ °C مشاهده می شود که به ترتیب به خروج آب آزاد و آب ساختاری موجود در ساختار ژل مربوط است. همچنین دو پیک گرماگیر نیز در دماهای بالا و در محدوده های ۱۴۰۰-۶۰۰ °C در این منحنی وجود دارد که به فعال شدن واکنش های اصلی بین پیش سازنده های ژل خشک شده نسبت داده می شود [۲۸]. بر طبق نتایج آنالیز حرارتی کلیه واکنش های شیمیایی در محدوده زیر دمای ۱۴۰۰ °C انجام شده و در بالای این دما هیچ واکنشی بین اجزا رخ نمی دهد. منحنی افت وزنی این نمونه نیز نشان می دهد که در حین عملیات حرارتی در محدوده دمای محیط تا دمای ۱۵۰۰ °C دو مرحله افت وزنی مشاهده می شود. در مرحله اول افت وزنی که از دمای محیط تا دمای ۶۰۰ °C ادامه دارد خروج آب آزاد، آب ساختاری و ترکیبات فرار نظیر گروه های آل کوکسیدی و رزین فنولیک عامل اصلی کاهش ۲۰ درصدی وزن نمونه است. در مرحله دوم که از محدوده ۶۰۰ °C الی ۱۴۰۰ °C ادامه دارد افت وزنی به واکنش های احیایی و خروج بخشی از محصولات واکنش به صورت گاز مربوط است که در این مرحله افت وزنی ۵۰ درصدی مشاهده می گردد. لذا می توان راندمان سنتر ترکیب ZrB<sub>2</sub> از پیش سازنده مورد استفاده را از نظر وزنی در حدود ۳۰ درصد تعیین نمود که عدد قابل قبولی بشمار می رود. با توجه به نتایج آنالیز حرارتی انجام گرفته فرآیند تشکیل جوانه های اولیه ZrB<sub>2</sub> در سیستم حاضر در محدوده دمایی ۱۴۰۰ °C رخ می دهد. از این رو ۲ دمای

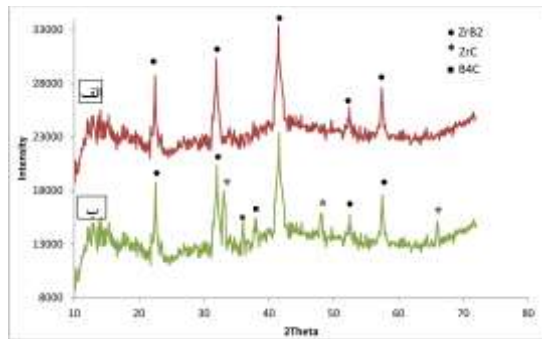


شکل (۵): طیف سنجی FTIR ژل خشک شده.

همان طور که شکل (۵) مشاهده می شود طیف به دست آمده از ژل حاوی پیش سازنده های زیر کونیوم، بور و کربن از پیک های متعددی در ۴۰۰۰ cm<sup>-1</sup> الی ۵۰۰ cm<sup>-1</sup> تشکیل شده است. بررسی پیک های این طیف نشان می دهد که علاوه بر پیک های مربوط به ارتعاشات باندهای O-B, O-C و C-O پیک های دیگری نیز وجود دارد که به اتصالات بین اتم های زیر کونیوم، بور، اکسیژن و کربن مربوط است [۲۷]. در نتیجه وجود پیک های اشاره شده در طیف FTIR نمونه ژل تهیه شده از پیش سازنده های عناصر Zr و B می توان گفت اختلاط بین پیش سازنده ها به خوبی انجام شده و هدف اصلی در برقراری اتصالات اتمی بین اتم ها و در کنار هم قرار دادن آن ها به دست آمده است. این امر موجب می شود تا در نهایت بتوان انتظار داشت با عملیات حرارتی ژل ZrB<sub>2</sub> به دست آمده و با صرف کمترین انرژی به ترکیب ZrB<sub>2</sub> دست پیدا نمود.

جهت تعیین دمای عملیات حرارتی مناسب ژل به دست آمده از پیش سازنده های مورد استفاده جهت سنتر ترکیب در بوراید زیر کونیوم از آنالیز حرارتی DTA/TG استفاده شد (شکل (۶)). تعیین دمای بهینه عملیات حرارتی به کمک آنالیز حرارتی موجب می شود تا علاوه بر تعیین حداقل دمای لازم جهت تشکیل ZrB<sub>2</sub> از عملیات حرارتی در دماهای بالاتر که عمدتاً به رشد غیر متعارف دانه ها می انجامد، جلوگیری نمود.

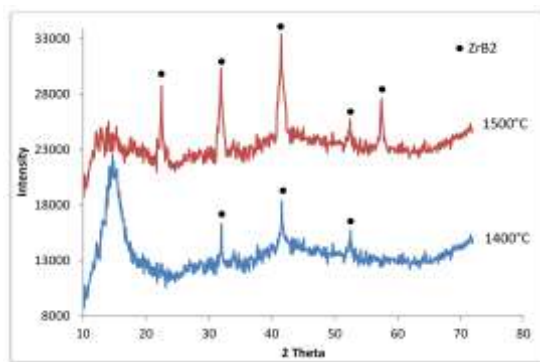
دستیابی به ترکیب ZrB<sub>2</sub> با ذرات حاوی کریستالیت های نانومتری مناسب است. یکی از موارد مهمی که در تعیین شرایط مناسب فرآیندی بسیار حائز اهمیت است تعیین نسبت مواد اولیه حاوی پیش سازنده های مدنظر است . در واقع اگر نسبت وزنی (و یا تجمع اتمی) عناصر زیرکونیوم، بور و کربن از نسبت بهینه خارج شود تشکیل ترکیبات ناخواسته و پایین آمدن خلوص محصول نهایی رخ می دهد. در این راستا نمونه هایی با نسبت وزنی الکوكسیدزیرکونیوم به محلول ۲۰ درصد وزنی رزین فنولیک برابر ۱ و ۵.۰٪ تهیه و تأثیر تغییر نسبت مواد اولیه در ترکیب فازی محصول نهایی بررسی گردید . در شکل (۸) الگوی پراش اشعه ایکس نمونه های سنتز شده در دمای عملیات حرارتی ۱۵۰۰ °C به مدت ۱ ساعت آورده شده است.



شکل (۸): الگوی پراش اشعه ایکس برای پودر عملیات حرارتی در دمای ۱۵۰۰ °C به مدت ۱ ساعت (الف) و (ب) نسبت ۱ و ۵٪

همان طور که در شکل (۸) مشاهده می شود در نمونه سنتز شده در نسبت پیش سازنده زیرکونیوم و کربن برابر ۱ مخصوصاً نهایی از فاز ZrB<sub>2</sub> تشکیل شده و هیچ پیک مشخصه ای مربوط به ترکیبات ناخالصی در الگوی پراش اشعه ایکس آن مشاهده نمی شود (شکل (۸) (الف)). با این حال با افزایش پیش سازنده کربنی در سیستم ظهور پیک های مربوط به ترکیبات ZrC و B<sub>4</sub>C در محصول نهایی وجود دارد (شکل (۸) (ب)). در این نمونه ترکیب ZrC با درصد وزنی بیشتری نسبت به B<sub>4</sub>C تشکیل شده است که این امر به تفاوت انرژی آزاد تشکیل واکنش های ۴B+C→B<sub>4</sub>C و Zr+C→ZrC مربوط است . با این حال

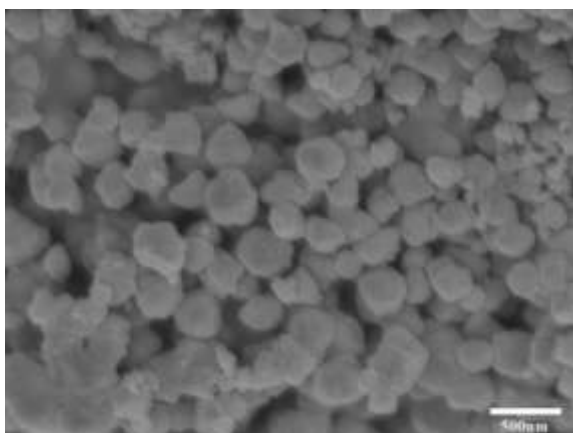
۱۴۰۰ و ۱۵۰۰ °C به عنوان دماهای عملیات حرارتی انتخاب و به مدت ۱ ساعت در هر یک از این دماها نگهداری و الگوی پراش اشعه ایکس از آن ها تهیه گردید که نتایج آن در شکل (۷) آمده است.



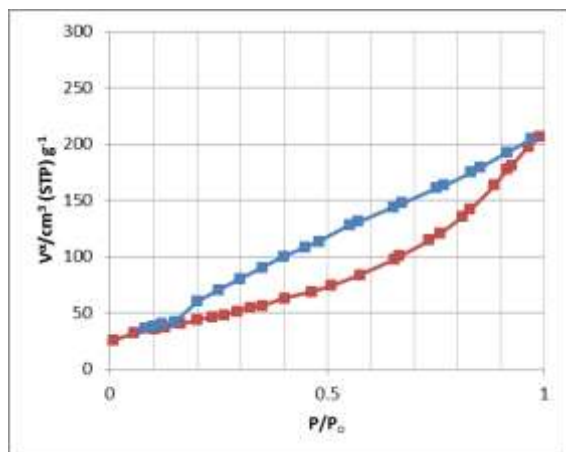
شکل (۷): الگوهای پراش اشعه ایکس برای پودر عملیات حرارتی شده در دمای (الف) ۱۴۰۰ °C و (ب) ۱۵۰۰ °C با دمای ۱۰ °C در دقیقه زمان نگهداری به مدت ۱ ساعت.

همان طور که در شکل (۷) (الف) مشاهده می شود نمونه تهیه شده در دمای ۱۴۰۰ °C از الگوی پراش اشعه ایکس حاوی پیک های بسیار ضعیف و پهن تشکیل شده است و از این رو می توان ریزساختار حاصل در این نمونه را به یک ریزساختار آمورف نسبت داد. در واقع گرچه بر طبق نتایج آنالیز حرارتی در این دما ترکیب ZrB<sub>2</sub> می باشد تشکیل شود، با این حال بحث های مرتبط با سینتیک واکنش و نفوذ دوربرد اجزای سازنده این ترکیب موجب شده تا در دمای ۱۴۰۰ °C ریزساختار با بلورینگی بالا ایجاد نشود . با این حال با افزایش دمای عملیات حرارتی به دمای ۱۵۰۰ °C پیک های مربوط به ZrB<sub>2</sub> به خوبی ظاهر شده اند (در شکل (۷) (ب)) و پهنهای آن ها به خوبی مؤید تشکیل کریستالیت - های نانومتری در این دماست [۲۹]. در الگوی پراش اشعه ایکس این نمونه تمامی پیک های فاز ZrB<sub>2</sub> مربوط است که این امر خلوص بالای نمونه سنتز شده را نشان می دهد. لذا با توجه به نتایج الگوی پراش اشعه ایکس نمونه های ژل خشک عملیات حرارتی شده در ۲ دمای مختلف اشاره شده می توان گفت دمای عملیات حرارتی ۱۵۰۰ °C جهت

می‌گردد اولاً محصول به دست آمده پودری بوده و تمام ذرات سطح مقطع یکسان و کاملاً کروی است. همین طور اندازه‌های این ذرات یکسان و دارای توزیع یکنواخت و اصطلاحاً تک سایز می‌باشند. ثانیاً ذرات تولید شده بسیار ریز و در ابعاد زیر 50 nm است. بررسی‌های سطحی از پودر سنتز شده، نشان داد که سطوح ذرات ZrB<sub>2</sub> دارای حفرات با ابعاد بسیار ریز می‌باشند. شکل (۱۱) منحنی ایزوترم جذب و واجدب پودر کامپوزیتی ZrB<sub>2</sub> را در دمای ۱۵۰۰°C زمان نگهداری ۱ ساعت را نشان می‌دهد.



شکل (۱۰): میکروسکوپ الکترونی رویشی نانو پودرهای ZrB<sub>2</sub> در دمای ۱۵۰۰°C به مدت ۱ ساعت.

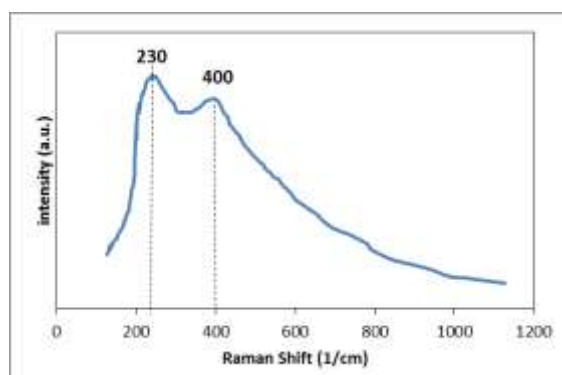


شکل (۱۱): منحنی ایزوترم جذب و واجدب پودر کامپوزیتی ZrB<sub>2</sub> را در دمای ۱۵۰۰°C زمان نگهداری ۱ ساعت.

همان‌طور که مشخص است، نمودار فوق بر طبق جدول استاندارد IUPAC به قسمت IV شبیه است؛ بنابراین توزیع حفرات سطحی موجود در ذرات در محدوده مزو قرار

مشخص است که در این نمونه خوراک کربنی بیش از حد موردنیاز وجود داشته و بخشی از آن صرف تشکیل فاز کاربیدی با پیش سازنده‌های زیرکونیوم و بور می‌شود. لذا می‌توان نتیجه گرفت که درصد خوراک کربنی در این سیستم می‌بایست بدقت کنترل شود و این پیش سازنده فقط باید به حد موردنیاز برای انجام فرآیندهای احیا به سیستم اضافه شود و در صورت افزایش درصد خوراک کربنی از حد مطلوب با تشکیل فازهای نامطلوب کاربید زیرکونیوم و کاربید بور مواجه وجود دارد. همچنین اگر خوراک کربنی از حد بهینه نیز کمتر انتخاب شود خطر باقی ماندن ترکیبات اکسیدی نظیر ZrO<sub>2</sub> ناشی از کامل نشدن فرآیند احیای پیش سازنده زیرکونیوم اصلی‌ترین نگرانی خواهد بود [۳۰].

شکل (۹) طیف رaman مربوط به نمونه نانو پودر ZrB<sub>2</sub> سنتز شده در شرایط بهینه را نشان می‌دهد. همان‌طور که ملاحظه می‌شود سه باند در موقعیت های ۲۳۰ و ۴۰۰ cm<sup>-1</sup> وجود دارد که به ارتعاشات اتمی باندهای Zr-B در شبکه کریستالی ترکیب در بوراید زیرکونیوم نسبت داده می‌شود. همچنین در این طیف هیچ پیکی مربوط به ارتعاشات پیوندهای Zr-C و B-C مشاهده نمی‌شود که این امر با نتایج به دست آمده مطابقت داشته و شرایط مناسب سنتز نانو ذرات ZrB<sub>2</sub> و جلوگیری از تشکیل ترکیبات ناخواسته را نشان می‌دهد.



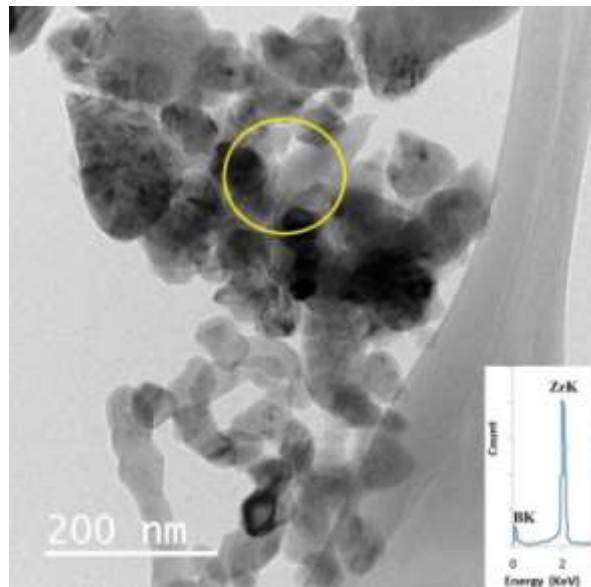
شکل (۹): طیف رامان نمونه نانو پودر ZrB<sub>2</sub> سنتز شده در شرایط بهینه.

شکل (۱۰) تصاویر میکروسکوپ الکترونی رویشی (FE-SEM) از پودر سنتز شده در دمای ۱۵۰۰°C و در زمان نگهداری ۱ ساعت را نشان می‌دهند. همان‌طور که ملاحظه

سل بررسی شد و در ادامه به بررسی اثر پارامتر دمای سنتز بر خواص پودر نظری اندازه ذرات، مورفوولوژی و توزیع آن‌ها پرداخته شد. اندازه ذرات پیش سازنده را می‌توان با تغییر pH در داخل سل کنترل کرد. نتایج نشان داد که اندازه ذرات پیش سازنده در pH<sub>7</sub>-9 حدود ۵-۷ nm می‌باشد. بررسی‌های پیوندی از پودر خام وجود اختلاط مواد اولیه را در ابعاد مولکولی اثبات می‌کرد به طوری که طیف FTIR وجود پیک‌های متعدد ناشی از ارتعاشات اتصالات بین اتم‌های زیرکونیوم و بور نظری B-O-B و O-C در کنار پیک‌های مربوط به باندهای O-Zr-O و C-O در طیف نمونه ژل خشک شده نشان داد که اختلاط بین پیش سازنده‌ها به خوبی انجام شده و هدف اصلی در برقراری اتصالات اتمی بین اتم‌های Zr و B و در کنار هم قرار دادن آن‌ها بدست آمده است. این امر موجب می‌شود تا در نهایت بتوان انتظار داشت با عملیات حرارتی ژل به دست آمده و با صرف کمترین انرژی به ترکیب ZrB<sub>2</sub> دست پیدا نمود. از آنجا که مواد پیش سازنده در ابعاد مولکولی در هم مخلوط شده‌اند به علت کوتاه شدن مسیر نفوذ، سرعت واکنش بالا رفته و مواد پیش سازنده در دمای سنتز پایین‌تر و زمان کوتاه‌تری به محصول تبدیل می‌شوند به طوری که آنالیز DTA نشان داد که جوانه‌های ذرات پودری کامپوزیت ZrB<sub>2</sub> در دمای حدود ۱۴۰۰ °C تشکیل می‌گردند. دما عامل بسیار مهم در بلوری شدن ذرات کاربریدی می‌باشد. به طوری که نتایج XRD نشان داد که در دمای عملیات حرارتی برابر ۱۵۰۰ °C شرایط مناسب جهت تشکیل فاز ZrB<sub>2</sub> فراهم می‌شود. بررسی‌های سطحی، سطح مخصوص ذرات کامپوزیتی را در اعداد ۱۱۵ مترمربع بر گرم نشان داد. تصاویر ریزساختاری از پودر سنتز شده نشان داد که مورفوولوژی پودرهای کامپوزیتی متعدد الشکل بوده و دارای سطح مقطع کروی می‌باشند؛ و همین طور پودرهای سنتز شده پلی کریستال بوده و میانگین اندازه آن‌ها بسیار ریزدانه و در ابعاد نانو متري می‌باشد. به طوری که سطوح این ذرات متخلخل بوده و اندازه این حفره‌ها در محدوده مزو می‌باشد.

دارند. آنالیز BET از پودر سنتز شده حاکی از بالا بودن سطح مخصوص این ذرات می‌باشد و عددی در حدود ۱۱۵ m<sup>2</sup>/g را در این شرایط گزارش شده است؛ بنابراین وجود سطح ویژه بالای این ذرات پودری باعث شده است که این محصولات در ساخت بدنه‌های فوق پیشرفته در صنایع مختلف مخصوصاً صنایع نظامی کاربرد داشته باشند [۳۱].

به منظور بررسی مورفوولوژی و ویژگی‌های ظاهری نانو ذرات سنتز شده از میکروسکوپ الکترونی عبوری استفاده گردید (شکل ۱۲). همان‌طور که ملاحظه می‌گردد ذرات سنتز شده دارای توزیع یکنواخت با مورفوولوژی یکسان و در ابعاد بسیار ریز می‌باشند، به طوری که می‌توان تخمین زد که محدوده اندازه ذرات، زیر ۱۰۰ nm می‌باشد؛ که با نتیجه به دست آمده از آنالیز تعیین توزیع اندازه ذرات کاملاً همخوانی دارد.



شکل ۱۲): تصویر TEM از پودر سنتز شده در دمای ۱۵۰۰ °C به مدت ۱ ساعت.

#### ۴- نتیجه‌گیری

هدف از انجام این تحقیق بررسی پارامترهای فرآیند و شرایط عملیات حرارتی بر تشکیل فازها و خواص ریزساختاری پودرهای ZrB<sub>2</sub> بوده است؛ که در راستای رسیدن به این اهداف در ابتدا اثر پارامترهای مؤثر بر خواص

## ۵- مراجع

- [11] M. S. Asl, B. Nayebi, M. Akhlaghi, Z. Ahmadi, S. A. Tayebifard, E. Salahi ... & M. A. Mohammadi, "Novel ZrB<sub>2</sub>-based composite manufactured with Ti<sub>3</sub>AlC<sub>2</sub> additive", Ceramics International, vol. 47, no. 1, pp. 817-827, 2021.
- [12] M. Khoeini, A. Najafi, H. Rastegar & M. Amani, "Improvement of hollow mesoporous silica nanoparticles synthesis by hard-templating method via CTAB surfactant", Ceramics International, vol. 45, no. 10, pp. 12700-12707, 2019.
- [13] A. Najafi & S. Ghasemi, "A study of APC surfactant role on the surface characteristics, size and morphology improvements of synthesized mesoporous silica nanopowder through a sol-gel process", Journal of Alloys and Compounds, vol. 720, pp. 423-431, 2017.
- [14] O. Fakhimi, A. Najafi & G. Khalaj, "A facile rout to obtain Al<sub>2</sub>O<sub>3</sub> nanopowder via recycling aluminum cans by sol-gel method", Materials Research Express, vol. 7, no. 4, pp. 045008, 2020.
- [15] A. Najafi, F. Golestani-Fard, H. R. Rezaie & N. Ehsani, "Synthesis and characterization of silicon carbide nano powder by solgelprocessing", Iranian Journal of Materials Science and Engineering, vol. 8, no. 2, pp. 41-47, 2011.
- [16] A. Najafi, F. Golestani-Fard, H. R. Rezaie & S. P. Saeb, "Sol-Gel synthesis and characterization of SiC-B4C nano powder", Ceramics International, vol. 47, no. 5, pp. 6376-6387, 2021.
- [17] A. Najafi, F. Golestani-Fard, H. R. Rezaie & N. Ehsani, "A study on sol-gel synthesis and characterization of SiC nano powder", Journal of sol-gel science and technology, vol. 59, no. 2, pp. 205-214, 2011.
- [18] I. S. Seog & C. H. Kim, "Preparation of monodispersed spherical silicon carbide by the sol-gel method", Journal of Materials Science, vol. 28, no. 12, pp. 3277-3282, 1993.
- [19] A. Najafi, F. Golestani-Fard, H. R. Rezaie & N. Ehsani, "Synthesis and characterization of SiC nano powder with low residual carbon processed by sol-gel method. Powder technology", vol. 219, pp. 202-210, 2012.
- [20] A. Najafi, F. Golestani-Fard & H. R. Rezaie, "Sol-gel synthesis and characterization of B4C nanopowder", Ceramics International, vol. 44, no. 17, pp. 21386-21394, 2018.
- [1] S. Q. Guo, "Densification of ZrB<sub>2</sub>-based composites and their mechanical and physical properties: a review", Journal of the European Ceramic Society, vol. 29, no. 6, pp. 995-1011, 2009.
- [2] M. S. Asl, B. Nayebi, Z. Ahmadi, M. J. Zamharir & M. Shokouhimehr, "Effects of carbon additives on the properties of ZrB<sub>2</sub>-based composites: a review", Ceramics International, vol. 44, no. 7, pp. 7334-7348, 2018.
- [3] R. Li, Y. Zhang, H. Lou, J. Li & Z. Feng, "Synthesis of ZrB<sub>2</sub> nanoparticles by sol-gel method", Journal of sol-gel science and technology, vol. 58, no. 2, pp. 580-585, 2011.
- [4] Y. Zhang, R. Li, Y. Jiang, B. Zhao, H. Duan, J. Li & Z. Feng, "Morphology evolution of ZrB<sub>2</sub> nanoparticles synthesized by sol-gel method", Journal of Solid State Chemistry, vol. 184, no. 8, pp. 2047-2052, 2011.
- [5] L. J. Yang, S. Z. Zhu, Q. Xu, Z. Y. Yan & L. Liu, "Synthesis of ultrafine ZrB<sub>2</sub> powders by sol-gel process", Frontiers of Materials Science in China, vol. 4, no. 3, pp. 285-290, 2010.
- [6] D. Medved', J. Balko, R. Sedlák, A. Kovalčíková, I. Shepa, A. Naughton-Duszová ... & J. Dusza, "Wear resistance of ZrB<sub>2</sub> based ceramic composites", International Journal of Refractory Metals and Hard Materials, vol. 81, pp. 214-224, 2019.
- [7] J. W. Zimmermann, G. E. Hilmas, W. G. Fahrenholtz, R. B. Dinwiddie, W. D. Porter & H. Wang, "Thermophysical properties of ZrB<sub>2</sub> and ZrB<sub>2</sub>-SiC ceramics", Journal of the American Ceramic Society, vol. 91, no. 5, pp. 1405-1411, 2008.
- [8] A. L. Chamberlain, W. G. Fahrenholtz, G. E. Hilmas & D. T. Ellerby, "High-strength zirconium diboride-based ceramics", Journal of the American Ceramic Society, vol. 87, no. 6, pp. 1170-1172, 2004.
- [9] Y. Kagawa & S. Guo, "Ultrahigh Temperature Ceramic-Based Composites", Ceramic Matrix Composites: Materials, Modeling and Technology, pp. 273-292, 2014.
- [10] B. Nayebi, N. Parvin, J. A. Mohandes & M. S. Asl, "Effect of Zr and C co-addition on the characteristics of ZrB<sub>2</sub>-based ceramics: role of spark plasma sintering temperature", Ceramics International, vol. 46, no. 16, pp. 24975-24985, 2020.

- [27] P. Kiryukhantsev-Korneev, A. Sytchenko, Y. Kaplanskii, A. Sheveyko, S. Vorotilo & E. Levashov, "Structure, Corrosion Resistance, Mechanical and Tribological Properties of ZrB<sub>2</sub> and Zr-BN Coatings", *Metals*, vol. 11, no. 8, pp. 1194, 2021.
- [28] C. Liu, X. Chang, Y. Wu, X. Li, Y. Xue, X. Wang & X. Hou, "In-situ synthesis of ultra-fine ZrB<sub>2</sub>-ZrC-SiC nanopowders by sol-gel method", *Ceramics International*, vol. 46, no. 6, pp. 7099-7108, 2020.
- [29] Y. Miao, X. Wang & Y. Cheng, "Carbon nanotube/titanium carbide sol-gel coated zirconium diboride composites prepared by spark plasma sintering", *Ceramics International*, vol. 44, no. 16, pp. 19262-19267, 2018.
- [30] S. Song, R. Li, L. Gao, C. Sun, P. Hu & Q. Zhen, "Synthesis and growth behavior of micron-sized rod-like ZrB<sub>2</sub> powders", *Ceramics International*, vol. 44, no. 5, pp. 4640-4645, 2018.
- [31] F. Li, Y. Cao, J. Liu, H. Zhang & S. Zhang, "Oxidation resistance of ZrB<sub>2</sub> and ZrB<sub>2</sub>-SiC ultrafine powders synthesized by a combined sol-gel and boro/carbothermal reduction method", *Ceramics International*, vol. 43, no. 10, pp. 7743-7750, 2017.
- [21] Najafi, A. Golestani-Fard, F. & Rezaie, H. R. Improvement of SiC nanopowder synthesis by sol-gel method via TEOS/resin phenolic precursors. *Journal of Sol-Gel Science and Technology*, 75(2), 255-263, 2015.
- [22] Z. Chen, X. Zhao, M. Li, H. Wang, Q. Li, G. Shao & L. An, "Synthesis of rod-like ZrB<sub>2</sub> crystals by boro/carbothermal reduction", *Ceramics International*, vol. 45, no. 11, pp. 13726-13731, 2019.
- [23] H. Shen, X. Li, C. Hu, Z. Wang, X. Hu, Y. Li & J. Yan, "Effect of dispersants on the physicochemical properties of ultra-fine ZrB<sub>2</sub> powder in Sol-gel synthesis", *Surfaces and Interfaces*, vol. 25, pp. 101162, 2021.
- [24] B. Yang, J. Li, B. Zhao, Y. Hu, T. Wang, D. Sun & T. Sato, "Synthesis of hexagonal-prism-like ZrB<sub>2</sub> by a sol-gel route", *Powder technology*, vol. 256, pp. 522-528, 2014.
- [25] H. Ji, M. Yang, M. Li, G. Ji, H. Fan & X. Sun, "Low-temperature synthesis of ZrB<sub>2</sub> nano-powders using a sorbitol modified sol-gel processing route", *Advanced Powder Technology*, vol. 25, no. 3, pp. 910-915, 2014.
- [26] H. Yang, J. Zhang, J. Li, Q. Shen & L. Zhang, "In-situ passivation reaction for synthesis of a uniform ZrO<sub>2</sub>-coated ZrB<sub>2</sub> powder in alkaline hydrothermal solution", *Surface and Coatings Technology*, vol. 385, pp. 125385, 2020.

## ۶- پی‌نوشت

- [1] Ultra-High Temperature Ceramics
- [2] Chen et al
- [3] Shen et al
- [4] Yang et al
- [5] Ji et al
- [6] Dynamic Light Scattering
- [7] Thermogravimetry and Differential Thermal Analysis